

# ستنتر CL-20 از طریق نیتراسیون TADFIW در حضور کاتالیزگرهای غیر همگن هترو پلی اسید

یداله بیات<sup>\*</sup>، اصغر ساکی نژاد<sup>۱</sup>، وحید عزیز خانی<sup>۲</sup>

تهران - دانشگاه صنعتی مالک اشتر

(تاریخ وصول: ۹۰/۰۹/۲۶، تاریخ پذیرش: ۹۱/۰۳/۲۸)

## چکیده

هگزا نیترو هگزا آزا ایزوروتزیتان (CL-20 یا HNIW)، یک ماده پرانرژی، با ساختار قفسی می‌باشد که به عنوان قوی‌ترین ماده منفجره غیر هسته‌ای شناخته شده است. این ترکیب معمولاً از نیتراسیون ۲،۴،۶،۱۲،۱۰،۸،۴- تترا استیل-۴،۱۰- دی فرمیل-۲،۴،۶،۱۰،۸،۴- هگزا آزا ایزوروتزیتان (TADFIW)، توسط مخلوط نیتریک اسید و سولفوریک اسید، تهیه می‌شود. در واکنش‌های زیادی از هتروپلی اسیدها (HPAs) به عنوان کاتالیست‌هایی مؤثر و تمیز استفاده شده است. در این تحقیق، از این اسیدها به عنوان فعال کننده نیتریک اسید، در فرآیند نیتراسیون، استفاده شد و CL-20 با بهره ۹۳٪ خلوص بسیار بالا در دمای ۷۰°C و زمان ۲/۵ ساعت تهیه گردید. استفاده از هترو پلی اسیدها به جای سولفوریک اسید، مشکلات استفاده از اسید سولفوریک را به طور کامل رفع می‌کند. همچنین در این تحقیق تأثیر دمای واکنش، زمان و دیگر فاکتورها نیز بر بازده ستنتر CL-20 مورد ارزیابی قرار گرفت. ساختار و خلوص ترکیبات با استفاده از آنالیز عنصری، IR و <sup>1</sup>H NMR مورد تأیید قرار گرفت.

**واژه‌های کلیدی:** CL-20، نیتراسیون، عامل نیتره کننده، ۲،۶،۸،۱۲- تترا استیل-۴،۱۰- دی فرمیل-۲،۴،۶،۱۰،۸،۴- هگزا آزا ایزوروتزیتان (TADFIW)، هتروپلی اسید.

## ۱- مقدمه

دانسیته، سرعت و فشار انفجار HNIW حدود ۵-۸٪ بالاتر از تترانیترو تترآ آزاسیکلواکتان (HMX) (شکل ۲) است [۸]. در برخی منابع، خصوصیات، ساختار کریستالی، پایداری حرارتی و همچنین داده‌های طیف‌سنجی CL-20 مطالعه قرار گرفته و گزارش شده است [۹،۱۰]. بر اساس داده‌های تست استوانه سربی که معیاری از قدرت

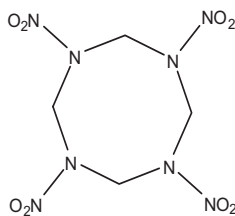
هگرانیترو هگزا آزا ایزوروتزیتان (HNIW یا CL-20) (شکل ۱)، یک ماده پرانرژی با دانسیته بالا [۱] و همچنین قوی‌ترین ماده منفجره غیر هسته‌ای شناخته شده است، که اولین بار در سال ۱۹۸۷ توسط نیلسن<sup>۳</sup> سنتر گردید [۳و۲]. HNIW جزء دسته نیترامین‌های چند حلقه‌ای، با ساختار قفسی [۵و۴]، دانسیته مناسب ( $>2 \text{ g/cm}^3$ ) و

\* E-mail: y\_bayat@mut.ac.ir

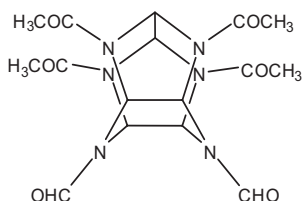
۱- دانشیار

۲- کارشناس ارشد

۳- دانشجوی دکتری



شکل ۲- ساختار تترانیترو ترا آزاسیکلواکتان (HMX).

شکل ۳- ساختار  $12,8,6,2$ -تترا استیل- $4,4,4,2$ -دی فرمیل- $12,10,8,6,4,2$ -هگزا آزا ایزوورتیتان (TADFIW).

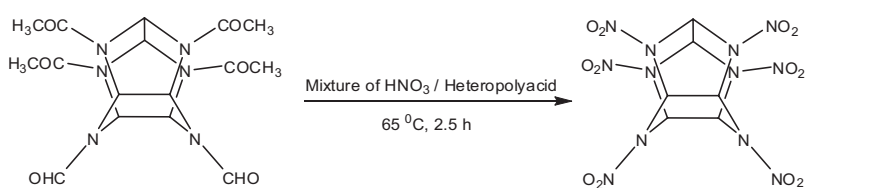
به همین دلیل تلاش‌هایی در جهت تغییر در این سیستم نیتره کننده انجام شد. اسیدهای جامد مزیت‌های بسیار زیادی را از جمله سهولت در کارکرد، کاهش حجم راکتور، عدم ایجاد خوردگی در سیستم و همچنین، اینم بودن برای محیط زیست، نسبت به اسید سولفوریک دارا می‌باشد [۲۴].

در این مقاله، تأثیر استفاده از هتروپلی اسیدها به عنوان کاتالیست‌های غیر همگن [۲۵-۲۹] بر روی نیتراسیون TADFIW مورد بررسی قرار گرفت. کاتالیست‌های غیر همگن دارای واکنش پذیری بالا، انتخاب پذیری بالا، جداسازی ساده از محصولات و قابلیت بازیافت می‌باشند [۳۰-۳۹]. در این تحقیق، تأثیر دما، زمان و انواع مختلف هتروپلی اسیدها، بر بهره سنتر HNIW مورد بررسی قرار گرفت.

## ۲- بخش تجربی

### ۱-۲ مواد و تجهیزات

$\text{H}_3\text{PMo}_{12}\text{O}_{40}$  و همچنین [۳۷] TADFIW  $\text{H}_7\text{SiW}_9\text{V}_3\text{O}_{40}$   $\text{H}_3[\text{P}(\text{W}_3\text{O}_{10})_4]$  و  $\alpha\text{-H}_3\text{PMo}_{12}\text{O}_{40}$   $\text{H}_3\text{P}(\text{W}_3\text{O}_{10})_4$  [۴۱ و ۴۲] توسط روش‌های گزارش شده در متون علمی تهیه شدند. ساختار و خلوص ترکیبات توسط آنالیز عنصری،  $\text{IR}$  و  $^{13}\text{C}$  NMR مورد بررسی و تأیید قرار گرفت. نقطه ذوب توسط لوله موئین سریاز در دستگاه Electrothermal la 8103 اندازه گیری شد. طیف IR توسط دستگاه Perkin-Elmer 3700 با استفاده از ماتریکس KBr انجام گرفت.



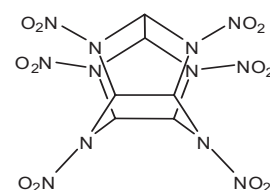
شکل ۴- نیتراسیون TADFIW به HNIW.

انفجار یک ترکیب پرانرژی می‌باشد، کارایی آن، مقدار ۱۴٪-۲۰٪ بیشتر از HMX است [۱۱]. بسیاری از خصوصیات این ترکیب، اخیراً توسط نیلسن و همکارانش، مرور شده است [۱۲]. HNIW در فشار و دمای محیط، دارای چهار پلی مورف،  $\alpha$ ،  $\beta$ ،  $\gamma$  و  $\delta$  می‌باشد، که فرم  $\delta$  دارای بیشترین دانسیته در بین این پلی مورف‌ها می‌باشد [۱۳-۱۶].

روش‌های متعددی برای سنتر این ترکیب در متون علمی گزارش شده است [۱۷]. تقریباً در کلیه روش‌های سنتر HNIW از پیش ماده استیل-۴-هگزانیتریل-۱۲،۸،۶،۴،۲-هگزانیتریل-۱۲،۱۰،۸،۶،۴،۲-هگزانیتریتیان (HBIW)، استفاده می‌شود، که در مرحله بعد این ترکیب به ترا استیل-۴-دی بنزیل [۱۲ و ۱۸] و سپس بنزیل‌های باقی مانده در سنتر TADBIW تبدیل شده [۱۲ و ۱۸] ترا استیل-۱۲،۸،۶،۲-هگزا آزا ایزوورتیتان (TADBIW) استیل-۴-دی فرمیل [۱۰،۸،۶،۴،۲-هگزا آزا ایزوورتیتان (TADFIW)] را ایجاد کنند [۱۹]، یا اینکه توسط نیتروزاسیون، ترکیب استیل-۱۰،۸،۶،۴،۲-هگزا آزا ایزوورتیتان (TADNIW) را ایجاد کنند، که هردو این ترکیبات می‌توانند به سادگی توسط سیستم‌های نیتره کننده مختلف نیتره شوند [۲۰ و ۲۱].

تحقیقات زیادی در زمینه سنتر CL-20 توسط نیتره کردن پیش ماده‌های حاوی گروه‌های نیترزو [۱۲]، فرمیل [۲۱] و استیل انجام شده است.

سنتر HNIW از پیش ماده TADFIW، از نظر اقتصادی و خلوص مناسب، مناسب‌ترین روش است که با استفاده از نیتریک اسید ۱۰٪ در اسید سولفوریک غلیظ، انجام می‌شود (شکل ۴) [۲۲ و ۲۳]. در نیتراسیون این حد واسطه‌ها توسط اسید سولفوریک، در مقیاس بالا، به دلیل رقیق شدن سولفوریک اسید به سهیله آب تولید شده در حین انجام واکنش، مقدار بسیار زیادی اسید سولفوریک مصرف می‌شود که در پایان این فرایند می‌باشد خنثی شده و دفع گردد.



شکل ۱- ساختار هگزانیترو هگزا آزا ایزوورتیتان (HNIW یا CL-20).

### ۳- نتایج و بحث

#### ۱- انتخاب مناسب‌ترین هتروپلی اسید

اولین هدف این تحقیق، انتخاب مناسب‌ترین کاتالیزگر از بین هتروپلی اسیدهای موجود می‌باشد که عبارتند از:  $H_7SiW_9V_3O_{40}$ ،  $H_3[P(W_3O_{104})_4]$  و  $\alpha\text{-}H_3PMo_{12}O_{40}$ . مشاهده شد که با کاهش قدرت اسیدی این ترکیبات بازده تولید و همچنین خلوص CL-20 سنتز شده کاهش می‌یابد. در کلیه آزمایشات انجام شده در این مرحله، دمای واکنش  $60^\circ C$  انتخاب شد (جدول ۱). با توجه به داده‌های به دست آمده و همچنین قیمت و سهولت سنتز،  $H_3[P(W_3O_{104})_4]$  به عنوان مناسب‌ترین کاتالیزگر انتخاب گردید.



افزایش قدرت اسیدی



طیفهای  $^1H$  NMR و  $^{13}C$  NMR توسط دستگاه Backer 300MHz مدل WG-300 انجام شد و آنالیز عنصری توسط دستگاه Carlo-Erba مدل EA-1108 انجام گرفت.

#### ۲- نیتراسیون - ۱۲،۸،۶- تترا استیل-۴- دی فرمیل - (TADFIW) - ۱۲،۱۰،۸،۶،۴،۲ - هگزا آزا ایزوورتیتان (HNIW)

۰/۴ گرم (۱ mmol) TADFIW به تدریج، به محلولی از ۱۰ ml نیتریک اسید ۹۸٪ سرد و ۰/۱ گرم هتروپلی اسید، اضافه شده و سپس محلوت واکنش تا دمای  $70^\circ C$  ۷۰ گرم شد و به مدت ۲/۵ ساعت در این دما ماند. پس از گذشت این زمان، محلوت واکنش، تا دمای  $35^\circ C$  سرد شده و بر روی ۱۰ گرم یخ پودری ریخته شد (شکل ۴). رسوب به دست آمده، صاف شده و با آب و محلول اشباع از سدیم بیکربنات شسته شد. رسوب به دست آمده، به مدت ۲۴ ساعت درون آون در دمای  $40^\circ C$  خشک گردید. HPLC خلوص HNIW به دست آمده را ۹۹٪ نشان داد.

جدول ۱- نیتراسیون TADFIW با استفاده از هتروپلی اسیدهای مختلف.

| شماره آزمایش | عامل نیتراسیون                          | نسبت $HNO_3/HPA$ (ml/gr) | زمان (دقیقه : ساعت) | بازده (%) |
|--------------|---|--------------------------|---------------------|-----------|
| ۱            | $HNO_3/H_2SO_4$                         | ۱۰/۲ml                   | ۴:۰۰                | ۸۴/۵      |
| ۲            | $HNO_3/H_3[P(W_3O_{104})_4]$            | ۱۰/۰/۱                   | ۲:۳۰                | ۹۳        |
| ۳            | $HNO_3/H_7SiW_9V_3O_{40}$               | ۱۰/۰/۱                   | ۲:۳۵                | ۹۲/۵      |
| ۴            | $HNO_3/\alpha\text{-}H_3PMo_{12}O_{40}$ | ۱۰/۰/۱                   | ۲:۴۰                | ۹۱        |
| ۵            | $HNO_3/H_3PMo_{12}O_{40}$               | ۱۰/۰/۱                   | ۳:۰۰                | ۹۰        |

انتخاب گردید. در دمای  $20^\circ C$ ، TLC  $45^\circ C$  و  $20^\circ C$ ، محلوت واکنش، سه لکه نشان می‌داد که هیچ کدام مربوط به CL-20 نبود و بنابراین جدا سازی محلوت واکنش انجام نشد. در دمای  $55^\circ C$  و  $65^\circ C$  نیز، TLC ایزوورتیتان واکنش دو لکه را نشان می‌داد که حاوی CL-20 نبود. در دمای بالاتر از  $70^\circ C$  واکنش کامل انجام شده و تنها محصول واکنش CL-20 می‌باشد. بنابراین بهترین دمای واکنش  $70^\circ C$  انتخاب گردید. با افزایش دمای واکنش، به دلیل تجزیه ساختار قفسی ایزوورتیتان، بازده واکنش کاهش می‌یابد.

جدول ۲- تأثیر مقدار کاتالیست  $H_3[P(W_3O_{104})_4]$  بر راندمان سنتز HNIW.

| بازده (%) | مقدار هتروپلی اسید (gr) $H_3[P(W_3O_{104})_4]$ | شماره آزمایش |
|-----------|--|--------------|
| ۶۰        | ۰/۰۵   | ۱            |
| ۹۳        | ۰/۱  | ۲            |
| ۹۱        | ۰/۱۵   | ۳            |
| ۹۰        | ۰/۲  | ۴            |

#### ۳- بهینه‌سازی مقدار کاتالیزگر

پس از انتخاب مناسب‌ترین کاتالیزگر برای این واکنش سعی در بهینه کردن مقدار کاتالیزگر گردید. داده‌های به دست آمده نشان می‌دهند که استفاده از ۱۰ ml اسید نیتریک و ۰/۱ گرم TADBIW بهترین نتیجه را حاصل می‌کند. در کلیه مقابله  $H_3[P(W_3O_{104})_4]$  ۰/۴ گرم HNIW به دست آمده، در این مرحله از پژوهش، دمای  $60^\circ C$ ، مقدار اسید آزمایشات انجام شده در این مرحله از پژوهش، دمای  $2/5$  ساعت و نوع کاتالیزگر نیتریک استفاده شده  $10\text{ ml}$ ، زمان واکنش  $2/5$  ساعت و نوع کاتالیزگر  $H_3[P(W_3O_{104})_4]$ ، انتخاب گردید (جدول ۲). با افزایش غلظت کاتالیزگر، احتمال تجزیه ساختار قفسی ایزوورتیتان افزایش بافت و بهره واکنش کاهش می‌یابد.

#### ۳- بهینه‌سازی دمای واکنش

به منظور ارزیابی تأثیر دمای‌های مختلف بر بازده سنتز CL-20، این واکنش در محدوده دمایی بین  $20^\circ C$  تا  $85^\circ C$  انجام شد و در کلیه آزمایشات این مرحله، از کاتالیزگر  $H_3[P(W_3O_{104})_4]$  با نسبت جرمی کاتالیزگر به ماده اولیه  $0/25$  استفاده و زمان واکنش  $2/5$  ساعت

۷۰ °C و زمان ۲/۵ ساعت، CL-20 را، با بازده ۹۳٪ و با خلوص بالا تولید می‌کند. به طور خلاصه در این تحقیق، ترکیب CL-20، با یک روش جدید، با بازده و خلوص بالا، از پیش ماده TADFIW سترن گردید.

### مراجع

- [1] Karakaya, P.; Sidhoum, M.; Christodoulatos, C.; Nicolich, S.; Balas, W. "Aqueous Solubility and Alkaline Hydrolysis of the Novel High Explosive Hexanitrohexaazaisowurtzitane (CL-20)."; J. Hazard. Mater. 2005, B120, 183.
- [2] Gore, G. M.; Sivabalan, R.; Nair, U. R.; Saikia, A.; Venugopalan, S.; Gandhe, B. R. "Synthesis of CL-20: By Oxidative Debenzylation with Cerium (IV) Ammonium Nitrate (CAN)."; Indian Journal of Chemistry. 2007, 46B, 505.
- [3] Jin, S.; Shu, Q.; Chen, S.; Shi, Y. "Preparation of ε-HNIW by a One-Pot Method in Concentrated Nitric Acid from Tetraacetylidyformylhexaazaisowurtzitane."; Propellants, Explos., Pyrotech. 2007, 32, 468.
- [4] Xu, X. J.; Zhu, W. H.; Xiao, H. M. "Hexanitrohexaadamantane: A New Potential High-Energy-Density Compound Superior to Hexanitrohexaazaisowurtzitane (CL-20)."; J. Energ. Mater. 2009, 27, 247.
- [5] Yang, R.; An, H.; Tan, H. "Combustion and Thermal Decomposition of HNIW and HTPB/HNIW Propellants with Additives."; Combust. Flame 2003, 135, 463.
- [6] Nair, U. R.; Sivabalan, R.; Gore, G. M.; Geetha, M.; Asthana, S. N.; Singh, H. "Hexanitrohexaazaisowurtzitane (CL-20) and CL-20-Based Formulations (Review).".; Combustion, Explosion, and Shock Waves 2005, 41, 121.
- [7] Sider, A. K.; Sikder, N.; Gandhe, B. R.; Agrawal, J. P.; Singh, H. "Hexanitrohexaazaisowurtzitane or CL-20 in India: Synthesis and Characterization.".; Def. Sci. J. 2002, 52, 135.
- [8] Samudre, S. S.; Nair, U. R.; Gore, G. M.; Sinha, R. K.; Sikder, A. K.; Asthana, S. N. "Studies on an Improved Plastic Bonded Explosive (PBX) for Shaped Charges.".; Propellants, Explos., Pyrotech. 2009, 34, 145.
- [9] Talawar, M. B.; Sivabalan, R.; Anniyappan, M.; Gore, G. M.; Asthana, S. N.; Gandhe, B. R. "Emerging Trends in Advanced High Energy Materials.".; Combustion, Explosion, and Shock Waves. 2007, 43, 62.
- [10] Agrawal, J. P. "Some New High Energy Materials and Their Formulations for Specialized Applications.".; Propellants, Explos., Pyrotech. 2005, 30, 316.
- [11] Yuxiang, O.; Huiping, J.; Yongjiang, X.; Boren, C.; Guangyu, F.; Lihua, L.; Fuping, Z.; Zelin, P.; Cai, W. "Synthesis and Crystal Structure of β-hexanitrohexaazaisowurtzitane.".; Science in China (Series B). 1999, 42, 217.
- [12] Agrawal, J. P.; Hodgson, R. D. "Organic Chemistry of Explosives.".; John Wiley & Sons Ltd, the Atrium, Southern Gate, Chichester, England. 2007, 279.
- [13] Goede, P.; Latypov, N. V.; Stmark, H. "Fourier Transform Raman Spectroscopy of the Four Crystallographic Phases of α, β, γ and ε 2,4,6,8,10,12-hexanitro-2,4,6,8,10,12-hexaaazatetracyclo [5.5.0.0<sup>3,9</sup>.0<sup>3,11</sup>] dodecane (HNIW, CL-20)."; Propellants, Explos., Pyrotech. 2004, 29, 205.
- [14] Bolotina, N. B.; Hardie, M. J.; Speer, R. L.; Pinkerton, A. A. "Energetic Materials: Variable-temperature Crystal Structures of HNIW Polymorphs.".; J. Appl. Cryst. 2004, 37, 808.
- [15] Makarov, A.; LoBrutto, R.; Christodoulatos, C.; Jerkovich, A. "The Use of Ultra High-performance Liquid Chromatography for

### جدول ۳- تأثیر دما بر راندمان سترن HNIW با عامل

.HNO<sub>3</sub>/H<sub>3</sub>[P(W<sub>3</sub>O<sub>104</sub>)<sub>4</sub>]

| شماره آزمایش | دما(°C) | بازده (%) |
|--------------|---------|-----------|
| ۱            | ۲۰      | ۲۸        |
| ۲            | ۳۰      | ۳۰        |
| ۳            | ۴۵      | ۵۶        |
| ۴            | ۵۵      | ۷۵        |
| ۵            | ۶۵      | ۸۵        |
| ۶            | ۷۰      | ۹۳        |
| ۷            | ۸۵      | ۸۹        |

### ۴-۳- بهینه سازی زمان واکنش

در چهارمین مرحله از این آزمایشات، تأثیر زمان واکنش، بر بازده سترن 20 مورد بررسی قرار گرفت. با توجه به داده‌های به دست آمده مشخص شد که، بالا بردن زمان واکنش تا حدود ۲/۵ ساعت، باعث افزایش بازده واکنش خواهد شد، اما با افزایش زمان واکنش بیش از ۲/۵ ساعت، بازده نیز کاهش خواهد یافت. در کلیه آزمایشات این مرحله، از کاتالیزگر H<sub>3</sub>[P(W<sub>3</sub>O<sub>104</sub>)<sub>4</sub>] با نسبت جرمی کاتالیزگر به ماده اولیه ۰/۲۵ استفاده و دمای واکنش ۷۰ °C انتخاب شد.

### جدول ۴- تأثیر زمان بر راندمان سترن HBIW با عامل

.HNO<sub>3</sub>/H<sub>3</sub>[P(W<sub>3</sub>O<sub>104</sub>)<sub>4</sub>]

| شماره آزمایش | زمان (ساعت) | بازده (%) |
|--------------|-------------|-----------|
| ۱            | ۱           | ۴۲        |
| ۲            | ۱/۵         | ۵۰        |
| ۳            | ۲           | ۸۱        |
| ۴            | ۲/۵         | ۹۳        |
| ۵            | ۳           | ۸۹        |
| ۶            | ۳/۵         | ۷۰        |
| ۷            | ۴           | ۶۵        |

### ۴- نتیجه گیری

در نیتراسیون TADFIW توسط مخلوط نیتریک اسید- سولفوریک اسید همواره یک ناخالصی دیده می‌شود که طول عمر آمیزه‌های CL-20 را تحت تأثیر قرار می‌دهد. در این تحقیق، یک روش جدید و مؤثر، برای سترن HNIW از گزارش شده است که این ناخالصی در محصول حذف شده است. ترکیب پرانرژی CL-20-CL-20 می‌تواند از نیتراسیون TADFIW در حضور هتروپلی اسیدها، با بازده بالا و در خلوص بالا تولید شود. استفاده از این اسیدها در مقادیر کاتالیستی، به جای سولفوریک اسید مشکلات جداسازی مخلوط نیتریک اسید و سولفوریک اسید را رفع می‌کند. تحقیقات ما نشان داد که استفاده از H<sub>3</sub>[P(W<sub>3</sub>O<sub>104</sub>)<sub>4</sub>] بالاترین بازده و خلوص محصول را به دنبال دارد. بهینه سازی شرایط واکنش نشان داد که، انجام واکنش در دمای

- for one-pot Conversion of Citronellal to Menthol.”; *Appl. Catal. A: Gen.* 2007, 317, 171.
- [30] Van Santen, R. A.; Neurock, M. “Molecular Heterogeneous Catalysis: A Conceptual and Computational Approach.”; Wiley-VCH: Weinheim, Cambridge, 2006.
- [31] DaSilva Rocha, K. A.; Kozhevnikov, I. V.; Gusevskaya, E. V. “Isomerisation of  $\alpha$ -Pinene Oxide Over Silica Supported Heteropoly Acid  $H_3PW_{12}O_{40}$ .”; *Appl. Catal. A: Gen.* 2005, 294, 106.
- [32] Li, Z.; Ma, X.; Liu, J.; Feng, X.; Tian, G.; Zhu, A. “Silica-Supported Aluminum Chloride: A Recyclable and Reusable Catalyst for One-Pot Three-Component Mannich-Ttpe Reactions.”; *J. Mol. Catal. A: Chem.* 2007, 272, 132.
- [33] Vicevic, M.; Boodhoo, K. V. K.; Scott, K. “Catalytic Isomerisation of  $\alpha$ -Pinene Oxide to Campholenic Aldehyde Using Silica-supported Zinc Triflate Catalysts: I. Kinetic and Thermodynamic Studies.”; *Chem. Eng. J.* 2007, 133, 31.
- [34] Das, B.; Venkateswarlu, K.; Majhi, A.; Reddy, M. R.; Reddy, K. N.; Rao, Y. K.; Ravikumar, K.; Sridhar, B. “Highly Efficient, Mild and Chemo- and Stereoselective Synthesis of Enaminones and EnaminoEsters Using Silica Supported Perchloric Acid Under Solvent-Free Conditions.”; *J. Mol. Catal. A: Chem.* 2006, 246, 276.
- [35] Li, K. T.; Dai, C. L.; Kuo, C. W. “Ethylene Polymerization Over a Nano-Sized Silica Supported  $Cp_2ZrCl_2/MAO$  Catalyst.”; *Catal. Commun.* 2007, 8, 1209.
- [36] Girardon, J. S.; Quinet, E.; Constant, A. G.; Chernavskii, P. A.; Gembre, L.; Khodakov, A. Y. “Cobalt Dispersion, Reducibility, and Surface Sites in Promoted Silica-supported Fischer-Tropsch Catalysts.”; *J. Catal.* 2007, 248, 143.
- [37] Vilella, I. M.; Borbath, I.; Margitfalvi, J. L.; Lazar, K.; Miguel, S. R.; Scelza, O. A. “PtSn/SiO<sub>2</sub>Catalysts Prepared by Controlled Surface Reactions for CitralHydrogenation in Liquid Phase.”; *Appl. Catal. A: Gen.* 2007, 326, 37.
- [38] Zavoianu, R.; Dias, C. R.; Soares, A. P. V.; Portela, M. F. “Oxidative Dehydrogenation of i-butane Over Nanostructured Silica-supported NiMoO<sub>4</sub>Catalysts with Low Content of Active Phase.”; *Appl. Catal. A: Gen.* 2006, 298, 40.
- [39] Shaterian, H. R.; Yarahmadi, H.; Ghashang, M. “One-pot Synthesis of Amidoalkyl Naphthols Using NaHSO<sub>4</sub>·SiO<sub>2</sub> as an Efficient and Recyclable Heterogeneous Catalyst.”; *Turk. J. Chem.* 2009, 33, 449.
- [40] Wardle, R. B.; Edwards, W.W. “Improved Hydrogenolysis of 2, 4, 6, 8, 10, 12-Hexabenzyl-2, 4, 6, 8, 10, 12-Hexaazatetracyclo [5.5.0.0<sup>5,9</sup>.0<sup>3,11</sup>] Dodecane.”; WO patent 9,720,785, 1997.
- [41] Tsigdinos, G. A.; Hallada, C. J. “Synthesis and Electrochemical Properties of Heteropolymolybdates.”; *Inorg. Chem.* 1968, 7, 437.
- [42] Bielanski, A.; Datka, J.; Gil, B.; Malecka-Lubanska, A.; Micek-Ilnicka, A. “FT-IR Study of Hydration of Dodecatungstosilicic Acid.”; *Catal. Lett.* 1999, 57, 61.
- Studying Hydrolysis Kinetics of CL-20 and Related Energetic Compounds.”; *J. Hazard. Mater.* 2009, 162, 1034.
- [16] Hu, Y.; Huang, P.; Guo, L.; Wang, X.; Zhang, C. “Terahertz Spectroscopic Investigations of Explosive.”; *Phys. Lett.* 2006, 359, 728.
- [17] Nair, U. R.; Sivabalan, R.; Gore, G. M.; Geetha, M.; Asthana, S. N.; Singh, H. “Hexanitrohexaazaisowurtzitane (CL-20) and CL-20 Based Formulations Combustion.”; *Explosion, Shock Waves* 2005, 141, 121.
- [18] Pang, S. P.; Yu, Y. Z.; Zhao, X. Q. “A Novel Synthetic Route to Hexanitrohexaazaisowurtzitane.”; *Propellants, Explos., Pyrotech.* 2005, 30, 442.
- [19] Nielsen, A. T.; Chafin, A. P.; Christian, S. L.; Moore, D. W.; Nadler, M. P.; Nissan, R. A.; Vanderah, D. J.; Gilardi, R. D.; George, C. F.; Anderson, J. L. “Synthesis of Polyazapolyyclic Caged Polynitramines.”; *Tetrahedron* 1998, 54, 1793.
- [20] Braithwaite, P. C.; Hatch, R. L.; Lee, K.; Wardle, R. B.; Mezger, M.; Nicolich, S. “Development of High Performance CL-20 Explosive Formulations.”; In: 29<sup>th</sup> Annual Conference of ICT on Energetic Materials; Karlsruhe, Germany, 1998.
- [21] Bescond, P.; Graingorge, H.; Mace, H. “Process for Producing the Epsilon Polymorphic form of Hexanitrohexaazaisowurtzitane.”; US Patent 1999, 5,973,149.
- [22] Latypov, N. V.; Wellmar, U.; Goede, P. “Synthesis and Scale-up of 2,4,6,8,10,12-hexanitro-2,4,6,8,10,12-hexaazaisowurtzitane from 2,6,8,12 - tetraacetyl - 4,10 - dibenzyl- 2,4,6,8,10,12 - hexaazaisowurtzitane (HNIW, CL-20).”; *Org. Process. Res. Dev.* 2000, 4, 156.
- [23] Gore, G. M. “Synthesis and Scale-up of Hexanitro Hexaazaisowurtzitane (CL-20).”; Pune India: Energetic Materials Division, High Energy Materials Research Laboratory. 2006.
- [24] Thottumkara, A. P.; Bowsher, M. S.; Vinod, T. K. “In Situ Generation of O-Iodoxybenzoic Acid (IBX) and the Catalytic Use of It in Oxidation Reactions in the Presence of Oxone as a Co-oxidant.”; *Org. Lett.* 2005, 7, 2933.
- [25] Heravi, M. M.; Hossein, S. S.; Oskooie, A.; HekmatShoar, R.; Bamoharram, F. F. “Heteropolyacids as Heterogeneous and Recyclable Catalysts for the Synthesis of Benzimidazoles.”; *Catal. Commun.* 2008, 9, 504.
- [26] Kozhevnikov, I. V. “Catalysis by Heteropoly Acids and Multicomponent Polyoxometalates in Liquid-Phase.”; *Reactions Chem.* 1998, 98, 171.
- [27] Kozhevnikov, I. V. “Advances in Catalysis by Heteropoly Acids.”; *Russ. Chem.* 1987, 56, 811.
- [28] Timofeeva, M. N. “Acid Catalysis by Heteropoly Acids.”; *Appl. Catal. A: Gen.* 2003, 256, 19.
- [29] DaSilva Rocha, K. A.; Robles Dutenhefner, P. A.; Sousa, E. M. B.; Kozhevnikova, E. F.; Kozhevnikov, I. V.; Gusevskaya, E. V. “Pd-HeteropolyAcid as a Bifunctional Heterogeneous Catalyst